

1  
Fig.

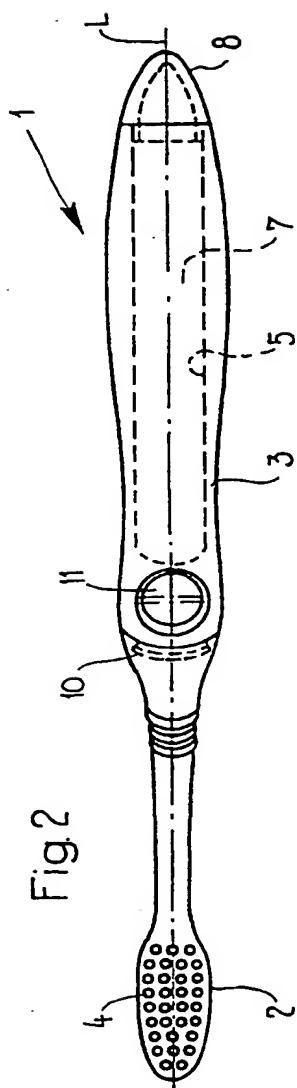


Fig 2

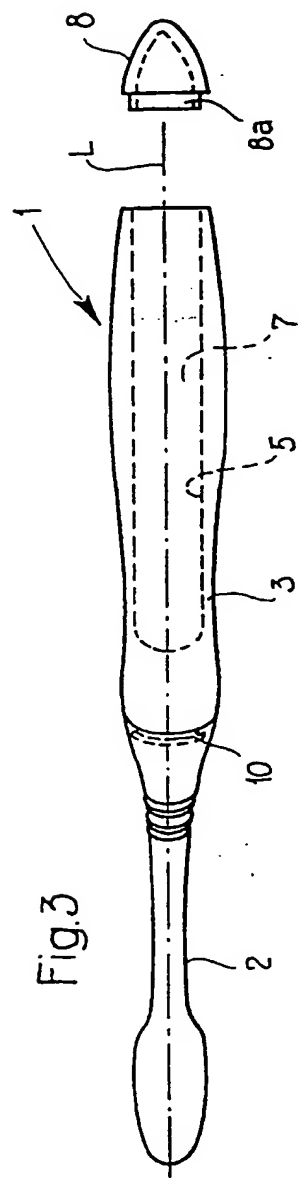


Fig. 3

Fig. 4

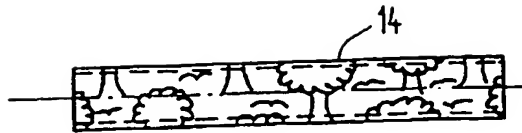


Fig. 5

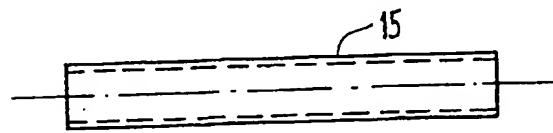


Fig. 6

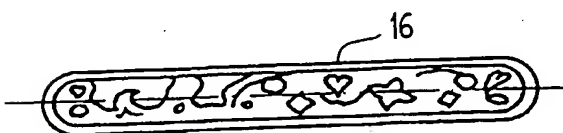


Fig. 7

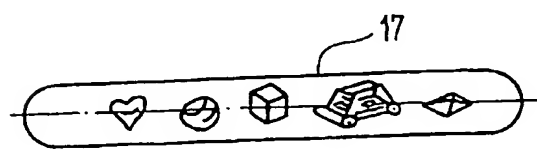


Fig. 8

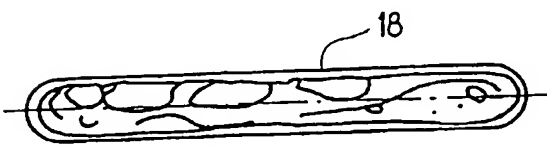


Fig. 9

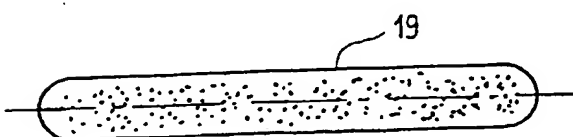


Fig. 10



Fig. 11a

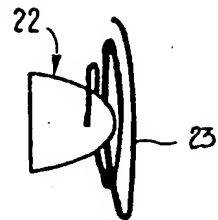
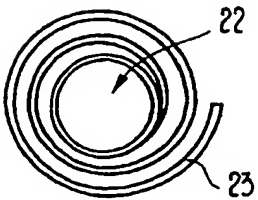


Fig. 11c

Fig. 11b

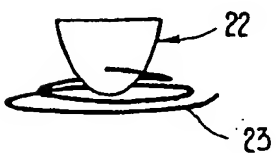


Fig. 12a

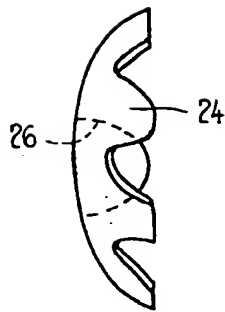
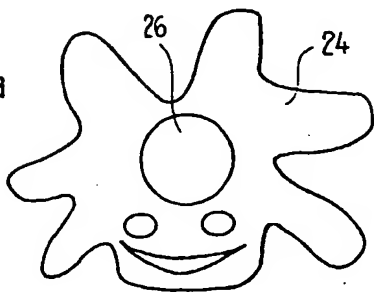


Fig. 12c



Fig. 12b

Fig.13a

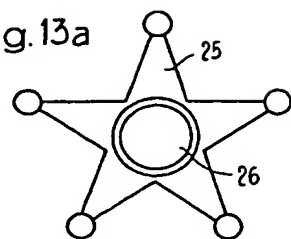


Fig.13c

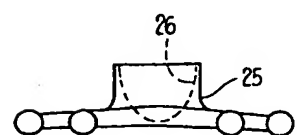
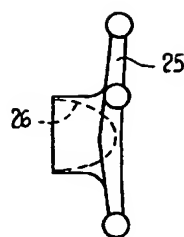


Fig.13b

Fig.14a

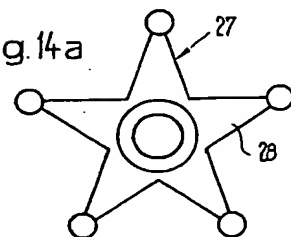


Fig.14c

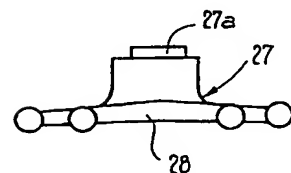
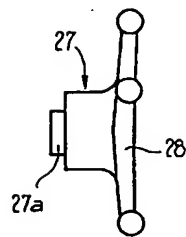


Fig.14b

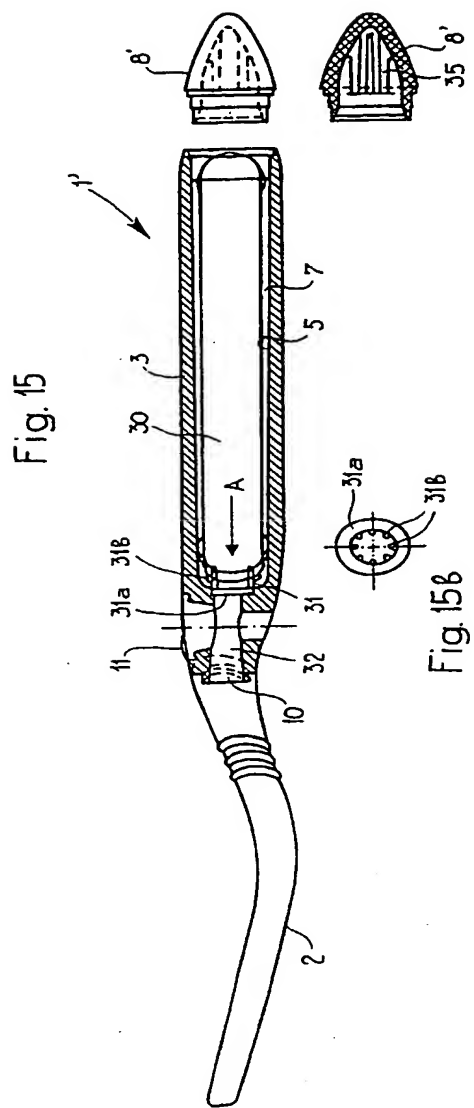


Fig. 15a

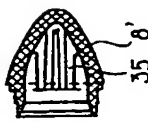


Fig. 15b

PCT/CH00/00290

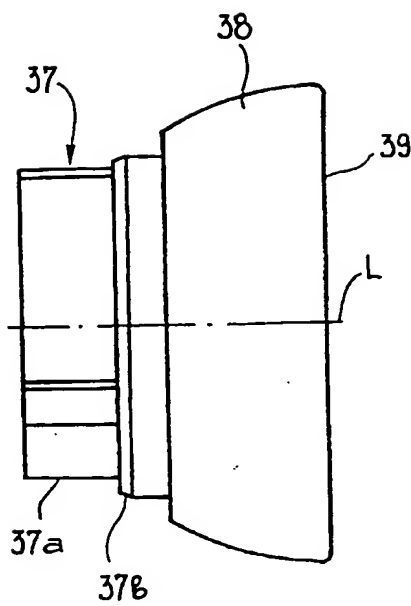


Fig. 16a

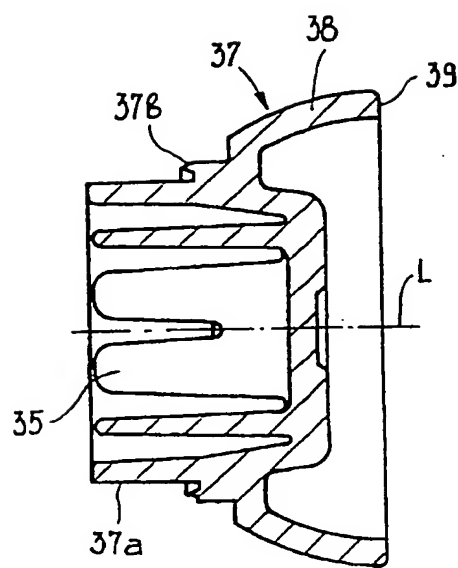


Fig. 16b